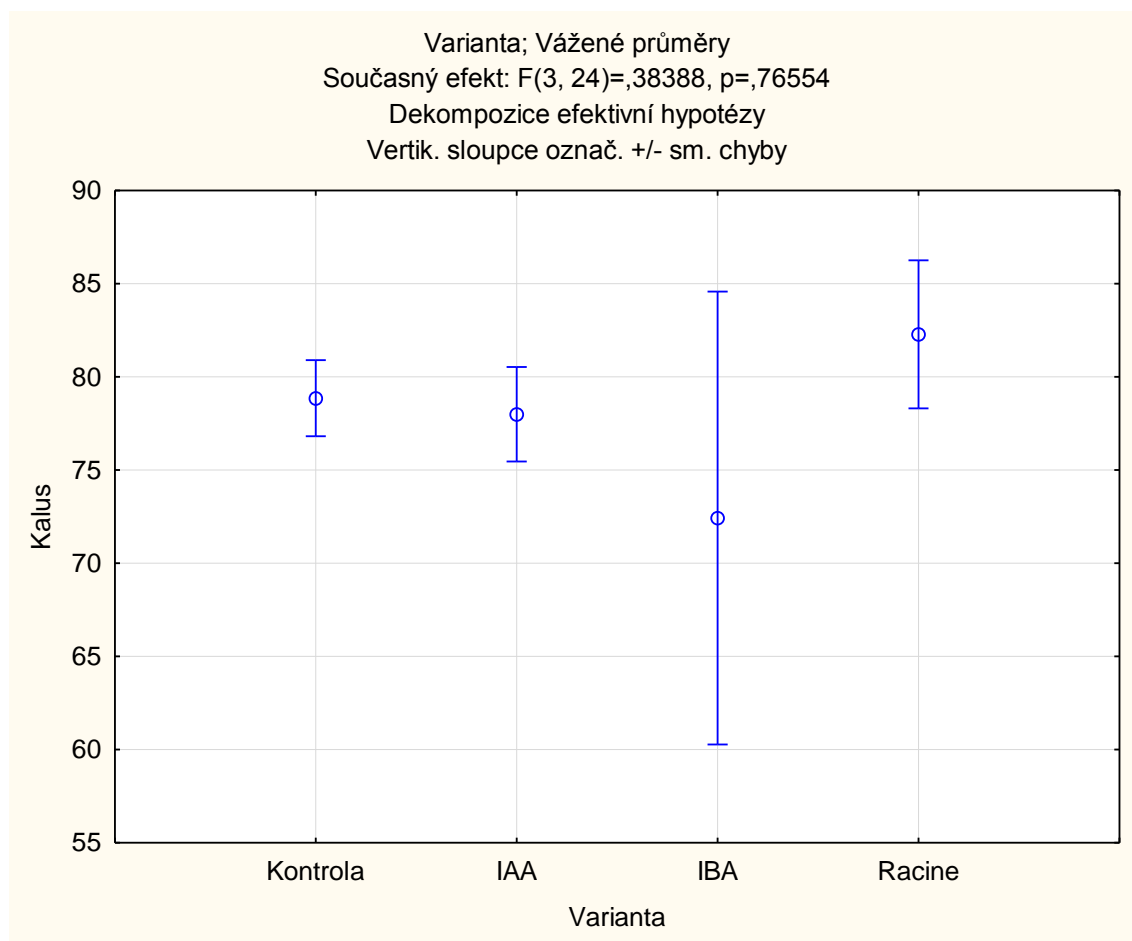


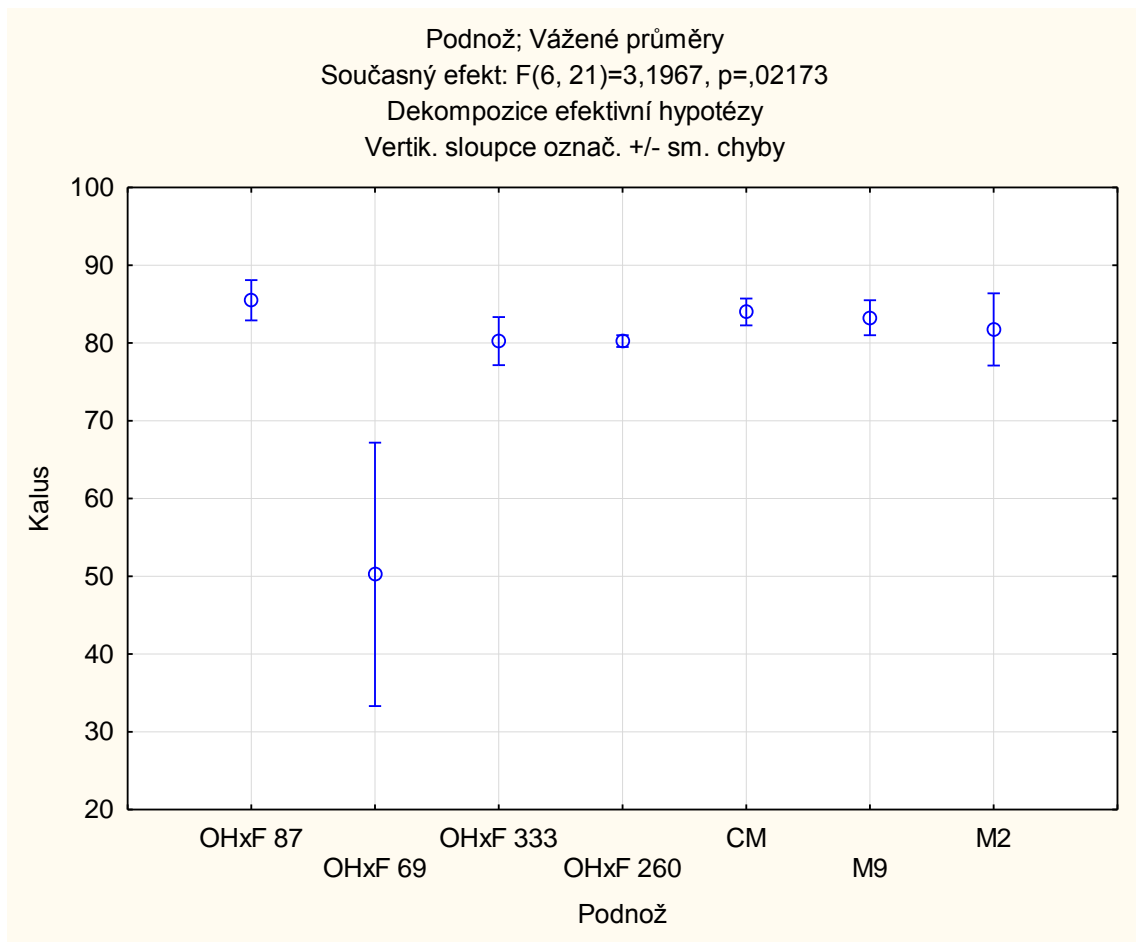
13 PŘÍLOHY



Graf č. 9: Jednofaktorová analýza rozptylu pro vliv fytohormonů na tvorbu kalusu

Tabulka č. 20: Tukeyův HSD test pro vliv fytohormon/kalus

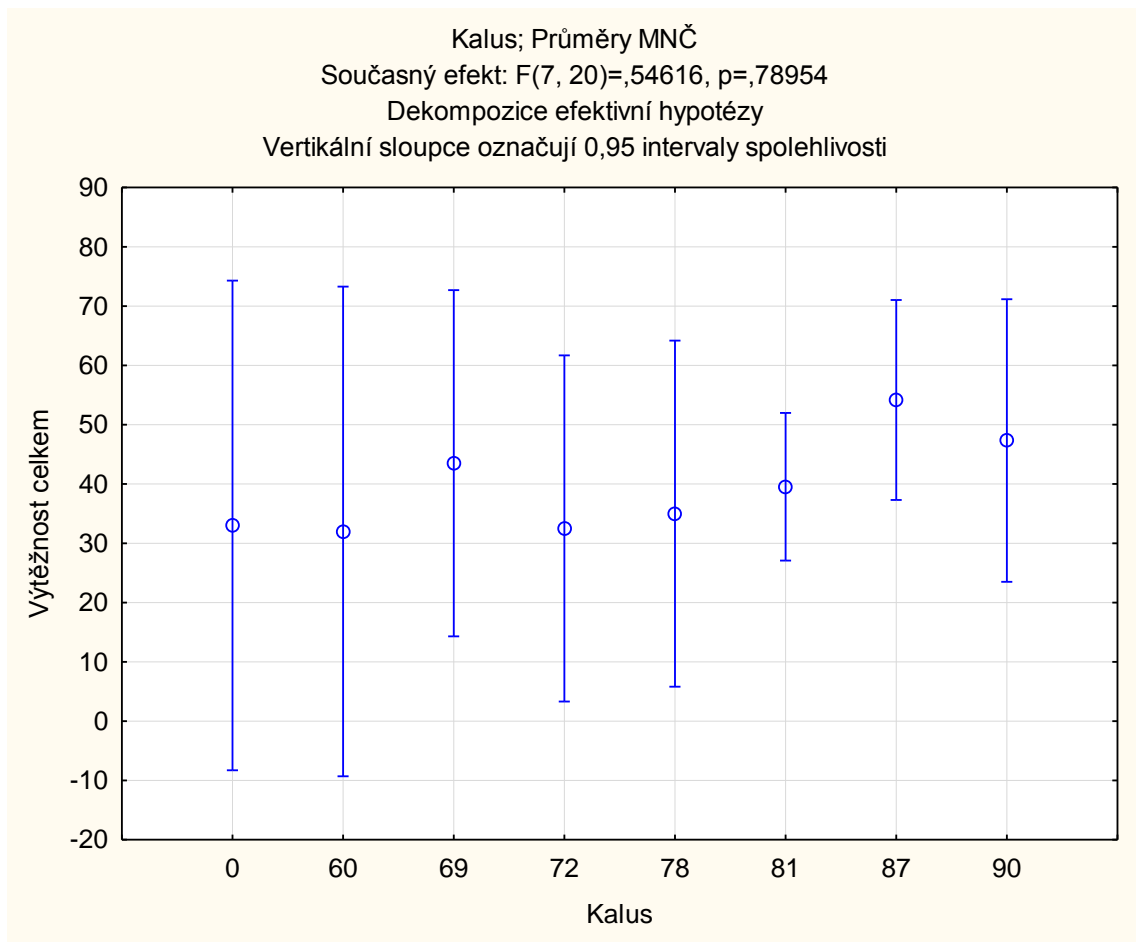
Tukeyův HSD test; proměnná Kalus Přibližné pravděpodobnosti pro post hoc testy Chyba: meziskup. PČ = 304,50, sv = 24,000					
Č. buňky	Varianta	{1}	{2}	{3}	{4}
		78,857	78,000	72,429	82,286
1	Kontrola		0,999743	0,900273	0,982701
2	IAA	0,999743		0,931962	0,967157
3	IBA	0,900273	0,931962		0,718401
4	Racine	0,982701	0,967157	0,718401	



Graf č. 10: Jednofaktorová analýza rozptylu pro vliv podnože na tvorbu kalusu

Tabulka č. 21: Tukeyův HSD test pro vliv podnož/kalus

		Tukeyův HSD test; proměnná Kalus Přibližné pravděpodobnosti pro post hoc testy Chyba: meziskup. PČ = 190,61, sv = 21,000						
Č. buňky	Podnož	{1}	{2}	{3}	{4}	{5}	{6}	{7}
		85,500	50,250	80,250	80,250	84,000	83,250	81,750
1	OHxF 87		0,023333	0,997913	0,997913	0,999999	0,999985	0,999697
2	OHxF 69	0,023333		0,071951	0,071951	0,032459	0,038230	0,052659
3	OHxF 333	0,997913	0,071951		1,000000	0,999697	0,999917	0,999999
4	OHxF 260	0,997913	0,071951	1,000000		0,999697	0,999917	0,999999
5	CM	0,999999	0,032459	0,999697	0,999697		1,000000	0,999985
6	M9	0,999985	0,038230	0,999917	0,999917	1,000000		0,999999
7	M2	0,999697	0,052659	0,999999	0,999999	0,999985	0,999999	



Graf č. 11: Jednofaktorová analýza rozptylu pro vliv podnože na výtěžnost řízků

Tabulka č. 22: Popisné statistiky pro vliv tvorby kalusu na výtěžnost

Efekt	Popisné statistiky						
	Úroveň Faktor	N	Výtěžnost celkem Průměr	Výtěžnost celkem Sm.odch.	Výtěžnost celkem Sm.Ch.	Výtěžnost celkem -95,00%	Výtěžnost celkem +95,00%
Celkem		28	42,46429	18,59208	3,51357	35,255	49,6735
Kalus	0	1	33,00000				
Kalus	60	1	32,00000				
Kalus	69	2	43,50000	17,67767	12,50000	-115,328	202,3276
Kalus	72	2	32,50000	4,94975	3,50000	-11,972	76,9717
Kalus	78	2	35,00000	49,49747	35,00000	-409,717	479,7172
Kalus	81	11	39,54545	16,41562	4,94950	28,517	50,5736
Kalus	87	6	54,16667	19,09363	7,79494	34,129	74,2042
Kalus	90	3	47,33333	16,28906	9,40449	6,869	87,7976

Tabulka č. 23: Popisné statistiky pro vliv fytohormonů na výtěžnost

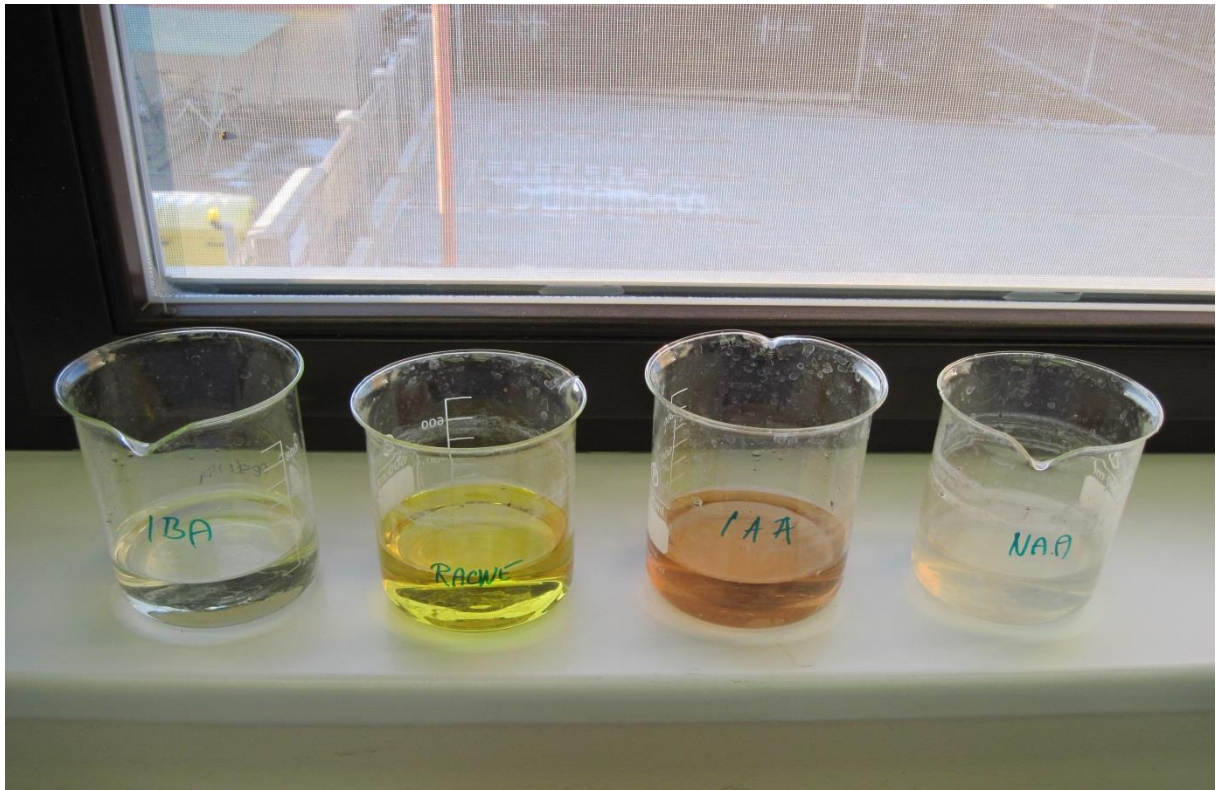
Efekt	Popisné statistiky						
	Úroveň Faktor	N	Výtěžnost Průměr	Výtěžnost Sm.odch.	Výtěžnost Sm.Ch.	Výtěžnost -95,00%	Výtěžnost +95,00%
Celkem		84	14,14286	6,660697	0,726742	12,69740	15,5883
Varianta	Kontrola	21	10,57143	8,291993	1,809461	6,79696	14,3459
Varianta	IAA	21	14,80952	4,823060	1,052478	12,61409	17,0049
Varianta	IBA	21	14,71429	5,395766	1,177453	12,25816	17,1704
Varianta	Racine	21	16,47619	6,562157	1,431980	13,48913	19,4632

Tabulka č. 24: Jednorozměrné testy významnosti pro vliv podnož/výtěžnost

Efekt	Jednorozm. výsledky pro každou záv. proměnnou Sigma-omezená parametrizace Dekompozice efektivní hypotézy				
	Stupně volnosti	Výtěžnost SČ	Výtěžnost PČ	Výtěžnost F	Výtěžnost p
Abs. člen	1	16801,71	16801,71	848,8127	0,000000
Podnož	6	2158,12	359,69	18,1711	0,000000
Chyba	77	1524,17	19,79		
Celkem	83	3682,29			

Tabulka č. 25: Popisné statistiky pro anovu s interakcemi

Efekt	Popisné statistiky							
	Úroveň Faktor	Úroveň Faktor	N	Výtěžnost Průměr	Výtěžnost Sm.odch.	Výtěžnost Sm.Ch.	Výtěžnost -95,00%	Výtěžnost +95,00%
Celkem			84	14,14286	6,660697	0,726742	12,6974	15,58832
Podnož	OHxF 87		12	10,00000	6,424385	1,854560	5,9181	14,08186
Podnož	OHxF 69		12	11,00000	4,709758	1,359590	8,0076	13,99244
Podnož	OHxF 333		12	11,66667	3,256695	0,940127	9,5975	13,73587
Podnož	OHxF 260		12	10,25000	6,797393	1,962238	5,9311	14,56886
Podnož	CM		12	12,58333	1,505042	0,434468	11,6271	13,53959
Podnož	M9		12	24,33333	2,309401	0,666667	22,8660	25,80066
Podnož	M2		12	19,16667	3,270622	0,944147	17,0886	21,24472
Varianta	Kontrola		21	10,57143	8,291993	1,809461	6,7970	14,34590
Varianta	IAA		21	14,80952	4,823060	1,052478	12,6141	17,00495
Varianta	IBA		21	14,71429	5,395766	1,177453	12,2582	17,17041
Varianta	Racine		21	16,47619	6,562157	1,431980	13,4891	19,46325
Podnož*Varianta	OHxF 87	Kontrola	3	0,00000	0,000000	0,000000	0,0000	0,00000
Podnož*Varianta	OHxF 87	IAA	3	14,66667	0,577350	0,333333	13,2324	16,10088
Podnož*Varianta	OHxF 87	IBA	3	12,00000	4,358899	2,516611	1,1719	22,82811
Podnož*Varianta	OHxF 87	Racine	3	13,33333	1,527525	0,881917	9,5388	17,12792
Podnož*Varianta	OHxF 69	Kontrola	3	12,00000	3,000000	1,732051	4,5476	19,45241
Podnož*Varianta	OHxF 69	IAA	3	10,33333	3,055050	1,763834	2,7442	17,92250
Podnož*Varianta	OHxF 69	IBA	3	11,00000	2,000000	1,154701	6,0317	15,96828
Podnož*Varianta	OHxF 69	Racine	3	10,66667	9,865766	5,696002	-13,8413	35,17459
Podnož*Varianta	OHxF 333	Kontrola	3	9,66667	5,033223	2,905933	-2,8366	22,16989
Podnož*Varianta	OHxF 333	IAA	3	11,00000	1,732051	1,000000	6,6973	15,30265
Podnož*Varianta	OHxF 333	IBA	3	12,33333	3,214550	1,855921	4,3479	20,31872
Podnož*Varianta	OHxF 333	Racine	3	13,66667	2,516611	1,452966	7,4151	19,91828
Podnož*Varianta	OHxF 260	Kontrola	3	0,00000	0,000000	0,000000	0,0000	0,00000
Podnož*Varianta	OHxF 260	IAA	3	13,00000	4,358899	2,516611	2,1719	23,82811
Podnož*Varianta	OHxF 260	IBA	3	13,33333	4,618802	2,666667	1,8596	24,80707
Podnož*Varianta	OHxF 260	Racine	3	14,66667	1,154701	0,666667	11,7982	17,53510
Podnož*Varianta	CM	Kontrola	3	11,66667	0,577350	0,333333	10,2324	13,10088
Podnož*Varianta	CM	IAA	3	12,66667	1,527525	0,881917	8,8721	16,46125
Podnož*Varianta	CM	IBA	3	12,33333	2,081666	1,201850	7,1622	17,50448
Podnož*Varianta	CM	Racine	3	13,66667	1,527525	0,881917	9,8721	17,46125
Podnož*Varianta	M9	Kontrola	3	22,66667	0,577350	0,333333	21,2324	24,10088
Podnož*Varianta	M9	IAA	3	23,33333	1,527525	0,881917	19,5388	27,12792
Podnož*Varianta	M9	IBA	3	24,00000	2,645751	1,527525	17,4276	30,57241
Podnož*Varianta	M9	Racine	3	27,33333	0,577350	0,333333	25,8991	28,76755
Podnož*Varianta	M2	Kontrola	3	18,00000	3,000000	1,732051	10,5476	25,45241
Podnož*Varianta	M2	IAA	3	18,66667	1,154701	0,666667	15,7982	21,53510
Podnož*Varianta	M2	IBA	3	18,00000	5,291503	3,055050	4,8552	31,14482
Podnož*Varianta	M2	Racine	3	22,00000	2,000000	1,154701	17,0317	26,96828



Obrázek č. 1: Připravené roztoky pro stimulaci řízků



Obrázek č. 2: Dřevité segmenty před stimulací



Obrázek č. 3: Stimulace dřevitých řízků



Obrázek č. 4: Stimulace dřevitých řízků



Obrázek č. 5: Uložení dřevitých řízků do termoboxu



Obrázek č. 6: Tvorba kalusu po tepelné stimulaci v termoboxu



Obrázek č. 7: Tvorba kalusu po tepelné stimulaci v termoboxu



Obrázek č. 8: Výsadba do pařeniště



Obrázek č. 9: Stav pokusu 9 dní po výsadbě



Obrázek č. 10: Stav pokusu 11.4.2014



Obrázek č. 11: Stav pokusu 3.10.2014



Obrázek č. 12: Kořenový systém podnože M 9



Obrázek č. 13: Kořenový systém podnože M 2